

京都大学 防災研究所 正員 岡 太郎

1. まえがき 山腹斜面域における浸透流の二次元解析を行い、土壤水分の消長と地下水流动について検討したのでその結果を報告する。

2. 不飽和-飽和浸透流の二次元解析 図1に例示するように山腹斜面には土壤水の飽和と不飽和領域が存在するが、これらを区別せず土壤水分と地下水流动をRichardsの式(1)を適用して解析しよう。

$$C(\psi) \frac{\partial \psi}{\partial t} = \frac{\partial}{\partial x} [K_z(\psi) \frac{\partial \psi}{\partial x}] + \frac{\partial}{\partial z} [K_z(\psi) (\frac{\partial \psi}{\partial z} + 1)] \quad (1)$$

図1 境界条件

ここで、 ψ : 不飽和領域では土壤水分吸引水頭($\psi < 0$)、飽和領域

では地下水頭($\psi \geq 0$)、 $K_z(\psi)$: 土壤水係数、 x , z 方向

の透水係数、 $C(\psi)$: specific moisture capacity、木および土

粒子の圧縮性を無視すると $C(\psi) = \theta/\partial \psi$ 、 θ : 体積含

水率表示の土壤水分量、 x , z : それが水平、縦座標、

尤: 時間。ここでは(1)式

を中央差分近似式に展開し、

R.A. Freeze と同等な手法

により数値計算を行った。

この場合の境界条件は図1

に示すように、(i) 不透層か

よび対称軸ではそれらを横

切る流れは存在しない、 $g_x = 0$

(ii) 土壤表面では、蒸発時に

は条件として与えられる蒸発量はすべて蒸発し、 $g_{surf} = -R$ 、降雨

時には表層土が飽和されない限り全降雨量が浸透し、 $g_{surf} = +R$ 、

飽和状態に達した場合には $\psi = 0$ であり、(iii) 河床部では $\psi = z$ 、

(iv) 浸出部では $\psi = 0$ である。初期条件としては実測値より適

当な値を代入すれば良いが、ここでは $\psi \geq 0$ では $\psi = z$ 、 $\psi_a < \psi < 0$

では $\psi = -z$ 、ただし $\psi = -z < \psi_a$ では $\psi = \psi_a$ とした。

3. 計算条件 図2には解析領域と格子分割、図3にはこの

解析で用いた土壤水分特性を示す。全計算時間は240時間、数

値計算上の時間増分 $\Delta t = 1800\text{sec}$ 、打切り誤差を一格子点につき

0.0006 、及び谷川の水位を常に一定(200cm)、 $\psi_a = -150\text{cm}$ と

して計算を行った。なおここでは図2に示すように谷の底部で

地下水帯の存在する部分を谷底部、他の部分を斜面部と呼ぶこととする。解析に用いた降雨条件を図4に示してある。

4. 計算結果と考察 図4に計算結果より得られた土壤水分

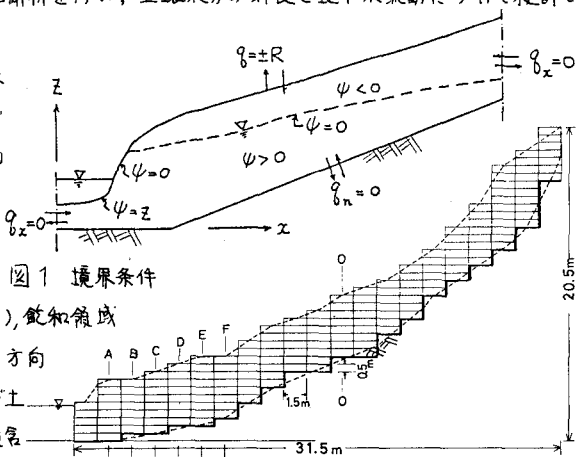


図2 解析領域と格子分割

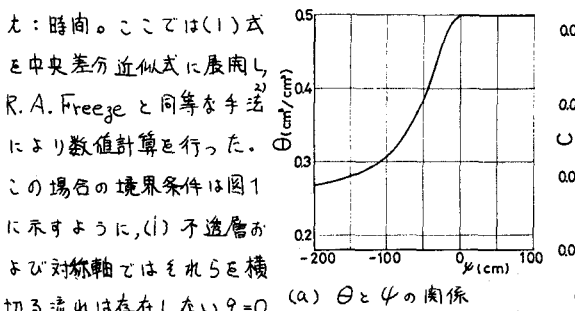


図3 土壤水分特性

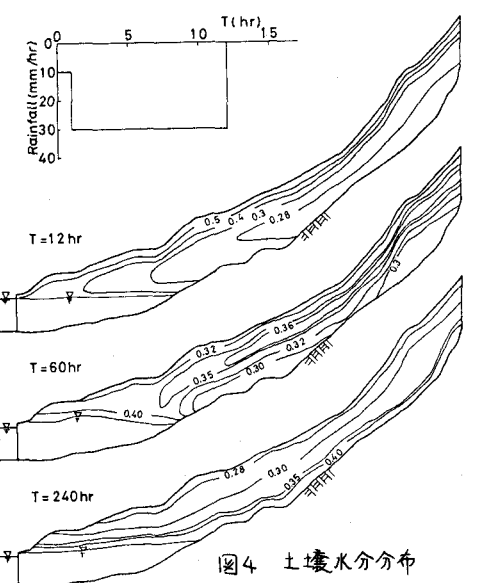


図4 土壤水分分布

分布、図5には図2に示すO-O断面の土壤水分の消長過程を示してある。他の斜面部の土壤水分の消長は、土壤厚が大きく異なる限り、図5に示されているものとほぼ同じであった。この計算では降雨開始8時間後に深さ50cmの表層土が飽和し、wetting frontは12時間後にはほぼ深さ1m、60時間後には2.5mの位置にあり、100時間後には不透層上に達している。この間、土壤水分の最大値はwetting frontの降下にともない減少しているが、不透層に達した後は急激に増大し、不透層上に含水率のがなり高い領域が形成されている。このように斜面部の土壤水分流動は鉛直成分が卓越しており、水平方向の成分はそれほど大きくないため、不透層付近に達した雨水は不透層上に一度蓄積されるかのようにさえ見える。また $\Delta z=50\text{cm}$ であり、この間の詳細な説明はできないが、この計算では斜面部の不透層上に飽和帶の形成は認められなかった。図6に谷底部の水頭分布を示してある。図6より谷底部の不透地下水において降雨終了後ではDarcy-Forchheimerの仮定が成立せず、地下水水面が局部的に盛上っているのが認められる。これは地下水面上の土壤厚が場所毎に異なり、雨水の地下水への到達時間に差があるために生じたものと考えられる。なお降雨終了後かなり時間が経過すると斜面部に浸透した雨水が谷底部に到達し、地下水帶は斜面部の方に発達し、地下水位もかなり高くなっている。この時にはDarcy-Forchheimerの仮定が近似的に成立しているといえよう。図7には図2に示されているA-F断面における地下水位変動が示されているが、谷川に近い場所ほど地下水位の上昇高は小さく、地下水面上の土壤厚が小さいほど雨水の到達が早く地下水面上の上昇下降も早い。一方斜面部に接する下断面では斜面部からの雨水流下の影響を受け、計算終了時点でもなお水位上昇を示している。図8には(2)式で求めた地下水流出量を示してある。ここで $I_{i,surf}$ =土壤表面からの浸入量

$$Q \stackrel{t+\Delta t/2}{=} \sum_j \sum_i (\Theta_{i,j}^t - \Theta_{i,j}^{t-\Delta t}) \times \Delta x \times \Delta z / \Delta t - \sum_i (I_{i,surf}^t \times \Delta x) \quad \dots (2)$$

図8によると地下水流出は降雨終了18~28時間後にピークに達しているが、谷底部の地下水位はA, B断面以外で上昇過程にあり、谷底部でさえも雨水はまだ十分には地下水面上に到達していない。このことからピーク付近の地下水流出は主として谷川に近い領域からの流出成分から成り立っており、斜面部の雨水は主として低減部の流出に寄与していることがわかる。この計算には京大化学研究所中央計算機室のFACOM 230-48を使用したが、計算所要時間は約45分であった。

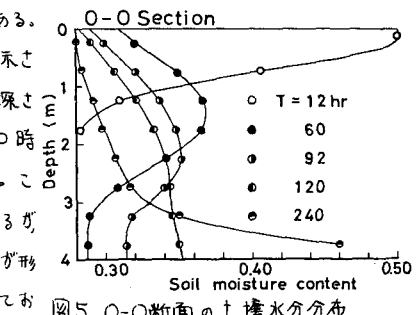


図5 O-O断面の土壤水分分布

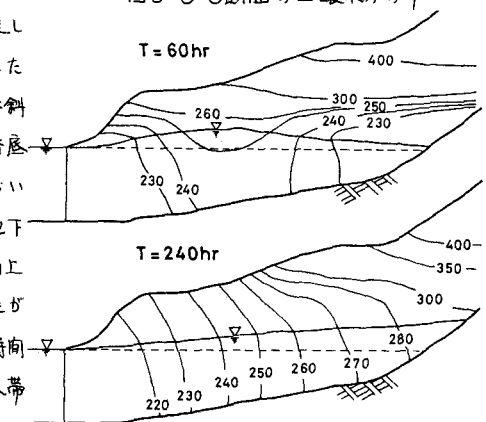


図6 谷底部の水頭分布

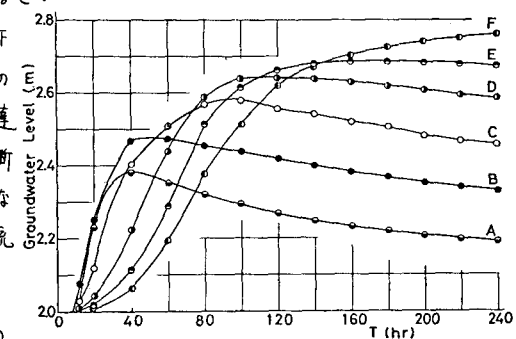


図7 水位変化

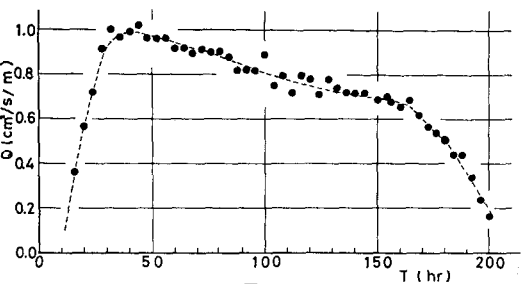


図8 地下水流出量

- (1) J. Rubin: Theoretical Analysis of Two-Dimensional Transient Flow of Water in Unsaturated Land Part Unsaturated Soils, S.S. S. A., P. vol. 32, No. 5, pp. 607-615, 1967.
- (2) R. A. Freeze: Three-Dimensional, Transient, Saturated-Unsaturated Flow in a Groundwater Basin, W. R. R., vol. 7, NO. 2, pp. 347-366, 1971.